

II-49 堤体土と有孔セル防波堤の振動実験

神戸大学工学部 正量 沼中亮弘

防波堤の安定性の検討は従来波力に対するもののが、最近の大水深大型防波堤に対するものは、その大型化のため波力よりもむしろ地盤力の方が安定性を支配する場合がある。本文は堤体土と有孔セル型防波堤の1/40模型について実施した振動実験により防波堤の地震時の安定性を実験的に検討する所で、震度法による堤体法面の安定性や、セルの振動研究の一歩として本研究を参考まで行つるものである。

1 振動実験*

図-1は振動水槽中に製作した防波堤模型に対する各種測定装置の一例を示したもので、実験は千種の

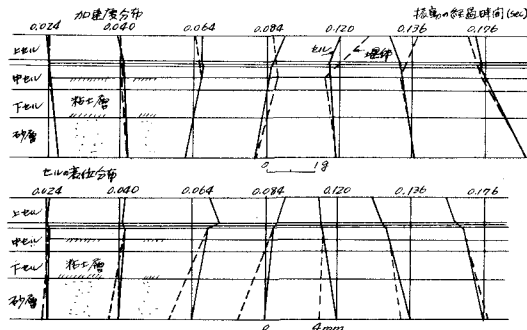


図-2 セルおよび堤体の加速度、変位分布の1例(台地震度0.26g)

模型について実施した。各模型は同様水槽の向陸と岸に沿って並んでおり相似律を満足しており、また重解振子の打撃による地震波、防波堤と彈性体と充てん場合には El Centro 地震を用い、2, 3 の地震で十分包含するものである。図-2 はセルおよび堤体の加速度、セルの変位分布の振動時間の経過とともに比較的よく対応する 1 例を示したものである。また図-3 はセル実験に対する堤体の最大加速度、堤体土の沈下量と台地の最大加速度との関係を示したものである。併せて同図は台地の加速度に対する当水深における地盤の台地の最大加速度との比の累加値を示したものである。震度 0.1~0.15 程度から堤体から崩附せ

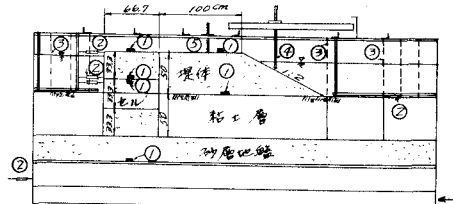


図-1 防波堤模型および測定装置の配置概要図
(模型 No. 1)

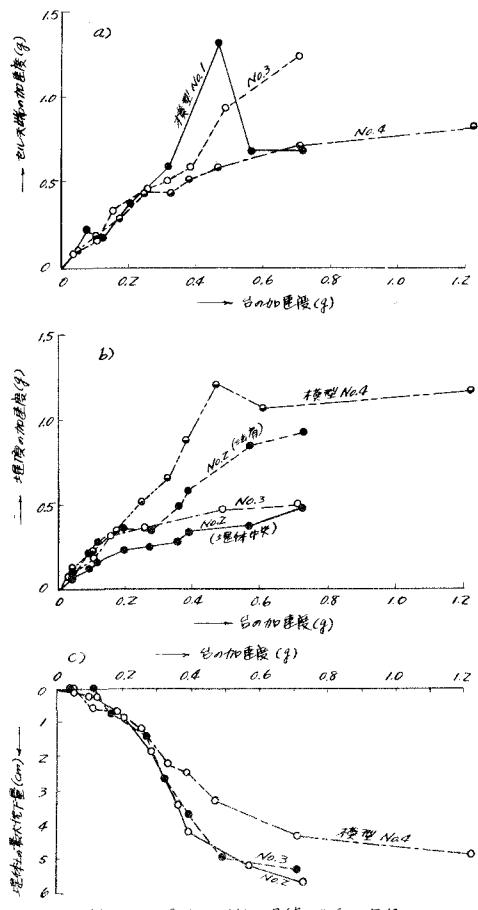


図-3 台地の加速度に対する堤体の加速度、堤体の沈下との関係

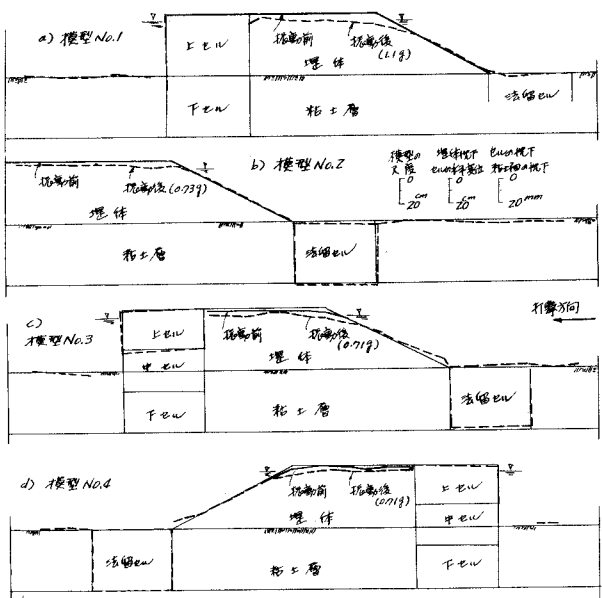


図-4 実験終了時に於ける各模型の形状

に小規模が発生し、密度の増大とともに成長するが、最終段階においては前面にはのみ水浴が付た。しかし浮かぶ堤体土、中端土の沈下は著しくものがある。本型式の防波堤建設におけるは23の検討の必要がある。図-4は実験終了時に於ける各種型の概観を示したもの。

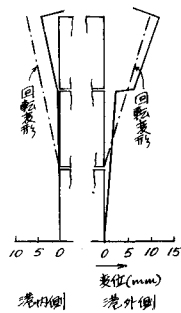


図-5 引張試験における心材形状

④ 2. 試験

2 立面の安定性
往來航行による
3 固定すべり面松
に腹筋板を適用す
る方法により、各
の震度を用い、一
律震度、三角形震
度分布などの場合

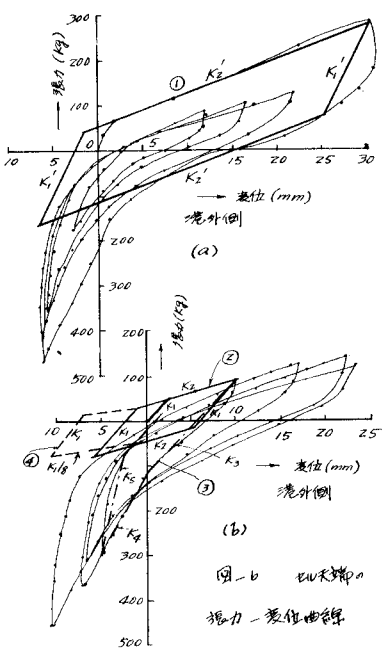


図-6 セル天端の振動特性

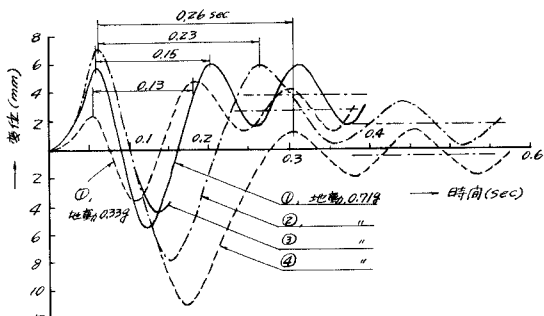


図-7 セル天端の水平振動(地盤剛性0.23g時の解曲線)

K-12
模型立面
の安定性
と検討し
ながら、実
験結果と
よく説明
するため
には、堤
体土の諸

常数の決定に対する配慮、経験的要素を考慮する。

3 セルの振動解析

まず最初の試みとして、セルの静的引張試験の結果から(図-5)より回転変形のみを考え、図-6のように非線形復元力特性をもつて自由度零の振動を仮想してセルの振動を解析した。図-7はその解曲線の一例である。

模型実験におけるセルの振動は図-7④に示すものであり、図-6(b)中の③の復元力特性と比較して、セルの変形が堤体側との復元力が減少する④の型式で、構成振動として取り扱う必要のあることはもちろんであるが、振動に対する堤体土の性質の変化の著しいことが予想される。

* 細中: 建設工事研究報告書第3号、昭. 38.9. に実験結果の詳細を報告。